

# Couverture en CVaR par algorithme stochastique et quantification vectorielle optimale

N. Frikha,<sup>1</sup> G. Pagès,<sup>2</sup> O. Bardou.<sup>3</sup>

Séminaire FIME, 21 Octobre 2011

---

1. CMAP, Ecole Polytechnique, e-mail: [noufel.frikha@cmap.polytechnique.fr](mailto:noufel.frikha@cmap.polytechnique.fr)

2. LPMA, Université Pierre & Marie Curie Paris VI. e-mail: [gilles.pages@upmc.fr](mailto:gilles.pages@upmc.fr)

3. LPMA, Université Pierre & Marie Curie Paris VI, Direction Financière GDF-Suez, e-mail: [olivier.bardou@gdfsuez.com](mailto:olivier.bardou@gdfsuez.com)

# Plan

- 1 Introduction
- 2 Aspects théoriques de la couverture en CVaR
- 3 Aspects numériques de la couverture du risque
- 4 Exemples numériques

# Outlines

- 1 Introduction
- 2 Aspects théoriques de la couverture en CVaR
- 3 Aspects numériques de la couverture du risque
- 4 Exemples numériques

# Couverture du risque : pourquoi ?

- ▷ Dans un marché complet, si  $L$  est mesurable par rapport à la filtration de marché :

$$L = \mathbb{E}[L] + \int_0^T \phi_s \cdot dS_s, \text{ p.s.}$$

- ▷ Pourtant, les marchés de l'énergie (gaz, électricité, ...) et les marchés financiers sont incomplets

- volatilité stochastique,
- Pics de prix sur les contrats spot ou *day-ahead*,
- Dépendance dans  $L$  par rapport au climat : température, ...

- ▷ Quelques solutions :

- Sur-couverture : N. El-Karoui, M.-C. Quenez, 1995, ...
- Maximisation de l'utilité espérée : S.D. Hodges & al., 1989, I. Karatzas & al., 1991, N. El Karoui & al., 2000, ...
- Minimisation du risque quadratique : H. Foellmer, D. Sonderman, 1986, M. Schweizer, 1991, ...

# Motivation et notations

Temps discret :  $t_0 = 0 < t_1 < \dots < t_M = T$

## Source d'incomplétude

$L$  contient une source de risque  $Z := (Z_\ell)_{0 \leq \ell \leq M}$  observable mais *non-négociable* sur le marché.

- ▷  $d$  actifs négociables  $X = (X_\ell)_{0 \leq \ell \leq M}$ ,  $X_\ell$  v.a. à valeurs dans  $\mathbb{R}^d$ .
- ▷ Filtration :  $\mathbb{G} = (\mathcal{G}_\ell)_{0 \leq \ell \leq M}$ ,  $\mathcal{G}_\ell := \sigma \{X_i, Z_i; 0 \leq i \leq \ell\}$ .
- ▷ Exemple : fournisseur d'énergie
  - achète une quantité aléatoire de gaz  $C_M$  au prix  $S_M^g$ ,
  - la vend à ses clients au prix fixe  $K$ ,
  - $Z := (Z_\ell)_{0 \leq \ell \leq M}$ , température.

$$L = (S_M^g - K) \times C_M,$$

où

$$C_M = a - bZ_M, \quad dZ_t = -\lambda(Z_t - \mu_t)dt + \sigma_Z dW_t.$$

# Risque statique et dynamique

$\xi_\alpha^* := \text{VaR}_\alpha(L)$ , où  $\mathbb{P}(L \leq \xi_\alpha^*) = \alpha$ , et  $\text{CVaR}_\alpha(L) := \mathbb{E}[L | L \geq \xi_\alpha^*]$ .

Proposition : Rockafellar, Uryasev, (2000).

$\mathbb{E}[L_+] < +\infty$  et  $F_L$  (strictement) croissante.

$$\text{CVaR}_\alpha(L) = \inf_{\xi \in \mathbb{R}} \xi + \frac{1}{1-\alpha} \mathbb{E}[(L - \xi)_+] = \xi_\alpha^* + \frac{1}{1-\alpha} \mathbb{E}[(L - \xi_\alpha^*)_+]$$

Définition : Bardou, Frikha, Pagès (2009).

Si  $L$  vérifie  $\mathbb{E}[L_+ | \mathcal{G}_\ell] < +\infty$  p.s.

$$\mathcal{G}_\ell\text{-CVaR}_\alpha(L) := \text{ess inf}_{\xi \in L^0_{\mathbb{R}}(\mathcal{G}_\ell)} \xi + \frac{1}{1-\alpha} \mathbb{E}[(L - \xi)_+ | \mathcal{G}_\ell].$$

sous-add., pos. homogène, invar. trans. et monotone.

# Outlines

- 1 Introduction
- 2 Aspects théoriques de la couverture en CVaR
- 3 Aspects numériques de la couverture du risque
- 4 Exemples numériques

# Couverture en CVaR à l'aide de stratégies autofinancées

## Stratégie à un pas vs. Stratégie dynamique

▷  $\mathcal{A} = \left\{ \theta = (\theta_\ell)_{0 \leq \ell \leq M-1}, \theta_\ell \in L_{\mathbb{R}^d}^0(\mathcal{G}_\ell, \mathbb{P}) \right\}$  :

- Stratégie dynamique,  $M$  rebalancements, gain  $\sum_{\ell=1}^M \theta_{\ell-1} \cdot \Delta X_\ell$ .
- Stratégie un pas, un rebalancement en  $\ell_0$  :  $\theta_k \equiv \theta_{\ell_0}$ ,  
 $k = \ell_0, \dots, M$ , gain  $\theta_{\ell_0} \cdot (X_M - X_{\ell_0})$ .

▷ Couverture dynamique du risque statique :

$$\inf_{\theta \in \mathcal{A}} \text{CVaR}_\alpha \left( L - \sum_{\ell=1}^M \theta_{\ell-1} \cdot \Delta X_\ell \right),$$

▷ Couverture à un pas du risque statique :

$$\inf_{\theta_{\ell_0} \in L_{\mathbb{R}^d}^0(\mathcal{G}_{\ell_0})} \text{CVaR}_\alpha (L - \theta_{\ell_0} \cdot (X_M - X_{\ell_0})),$$

▷ Couverture à un pas du risque forward :

$$\inf_{\theta_{\ell_0} \in L_{\mathbb{R}^d}^0(\mathcal{G}_{\ell_0})} \mathbb{E} [\mathcal{G}_{\ell_0} \text{-CVaR}_\alpha (L - \theta_{\ell_0} \cdot (X_M - X_{\ell_0}))].$$

# Existence de stratégie optimale

Le cas des stratégies à un pas

▷ Notons  $X = X_M - X_{\ell_0}$ . On considère une version régulière de la loi conditionnelle de  $(L, X)$  sachant  $\mathcal{G}_{\ell_0}$  :  $\Pi(\omega, dy, dx)$ .

## Hypothèses

- $L \in L^1_{\mathbb{R}}(\mathbb{P})$ ,  $X \in L^1_{\mathbb{R}^d}(\mathbb{P})$
- $\text{ess inf}_{u \in L^0_{\mathbb{R}^d}(\mathcal{G}_{\ell_0}, \mathbb{P}), |u|=1} \mathbb{E}[(u \cdot X)_+ | \mathcal{G}_{\ell_0}] > 0$  p.s.

$V : \Omega \times \mathbb{R} \times \mathbb{R}^d$  defined by

$$V(\omega, \xi, \theta) = \underbrace{\int \xi + \frac{1}{1-\alpha} (y - \theta \cdot x - \xi)_+ \Pi(\omega, dx, dy)}_{v(\xi, \theta, y, x)}$$

## Existence de stratégie optimale

Il existe une stratégie optimale  $(\xi_{\alpha,2}^*, \theta_{\alpha,2}^*) \in \mathbb{R} \times L^0_{\mathbb{R}^d}(\mathcal{G}_{\ell_0})$  (resp.  $(\xi_{\alpha,3}^*, \theta_{\alpha,3}^*) \in L^0_{\mathbb{R}}(\mathcal{G}_{\ell_0}) \times L^0_{\mathbb{R}^d}(\mathcal{G}_{\ell_0})$ ).

# Éléments de la preuve

On cherche à résoudre :

$$\begin{aligned} & \inf_{\theta \in L_{\mathbb{R}^d}^0(\mathcal{G}_{\ell_0})} \text{CVaR}_\alpha(L - \theta \cdot X) \\ &= \inf_{\xi \in \mathbb{R}} \inf_{\theta \in L_{\mathbb{R}^d}^0(\mathcal{G}_{\ell_0})} \mathbb{E} \left[ \xi + \frac{1}{1-\alpha} (L - \theta \cdot X - \xi)_+ \right] \end{aligned}$$

# Éléments de la preuve

Résultat de contrôle stochastique

$$\begin{aligned}
 & \inf_{\theta \in L_{\mathbb{R}^d}^0(\mathcal{G}_{\ell_0})} \text{CVaR}_\alpha(L - \theta.X) \\
 &= \inf_{\xi \in \mathbb{R}} \mathbb{E} \left[ \text{ess inf}_{\theta \in L_{\mathbb{R}^d}^0(\mathcal{G}_{\ell_0})} \mathbb{E} \left[ \xi + \frac{1}{1-\alpha} (L - \theta.X - \xi)_+ \middle| \mathcal{G}_{\ell_0} \right] \right] \\
 & \text{ess inf}_{\theta \in L_{\mathbb{R}^d}^0(\mathcal{G}_{\ell_0})} \mathbb{E} \left[ \xi + \frac{1}{1-\alpha} (L - \theta.X - \xi)_+ \middle| \mathcal{G}_{\ell_0} \right] (\omega) = \min_{\theta \in \mathbb{R}^d} V(\omega, \xi, \theta) \\
 & \hspace{20em} = V(\omega, \xi, \tilde{\theta}_\alpha) \text{ p.s.}
 \end{aligned}$$

▷  $V(\omega, \xi, \cdot)$  est convexe, Lipschitz,  $\lim_{|\theta| \rightarrow +\infty} V(\xi, \theta) = +\infty$ .

# Éléments de la preuve

Maintenant, on cherche à résoudre

$$\inf_{\xi \in \mathbb{R}} \mathbb{E} \left[ V(\xi, \tilde{\theta}_\alpha) \right] = \inf_{\xi \in \mathbb{R}} \mathbb{E} \left[ \operatorname{ess\,inf}_{\theta \in L_{\mathbb{R}^d}^0(\mathcal{G}_{\ell_0})} V(\xi, \theta) \right]$$

▷  $\xi \mapsto \mathbb{E} \left[ \operatorname{ess\,inf}_{\theta \in L_{\mathbb{R}^d}^0(\mathcal{G}_{\ell_0})} V(\xi, \theta) \right]$  est Lipschitz, convexe, et  $\lim_{|\xi| \rightarrow +\infty} \mathbb{E} \left[ \operatorname{ess\,inf}_{\theta \in L_{\mathbb{R}^d}^0(\mathcal{G}_{\ell_0})} V(\xi, \theta) \right] = +\infty$  (uniformément en  $\theta$ !).

▷ Il existe  $(\xi_{\alpha,2}^*, \theta_{\alpha,2}^*)$  solution du problème à un pas.  $V(\omega, \xi, \cdot)$  est différentiable :

$$\operatorname{Arg\,min} V(\omega, \xi, \cdot) = \left\{ \theta \in \mathbb{R}^d \mid \nabla_{\theta} V(\omega, \xi, \theta) = 0 \right\} \neq \emptyset,$$

# Couverture dynamique du risque statique

$$\begin{aligned} & \inf_{\theta \in \mathcal{A}} \text{CVaR}_\alpha \left( L - \sum_{\ell=1}^M \theta_{\ell-1} \cdot \Delta X_\ell \right) \\ &= \inf_{\xi \in \mathbb{R}} \inf_{\theta \in \mathcal{A}} \mathbb{E} \left[ \xi + \frac{1}{1-\alpha} \left( L - \sum_{\ell=1}^M \theta_{\ell-1} \cdot \Delta X_\ell - \xi \right)_+ \right] \end{aligned}$$

## Hypothèses

- $L \in \mathbb{L}_{\mathbb{R}}^1(\mathbb{P})$ ,  $\Delta X_\ell \in \mathbb{L}_{\mathbb{R}^d}^1(\mathbb{P})$ ,  $\ell = 1, \dots, M$
- $\text{ess inf}_{u \in L_{\mathbb{R}^d}^0(\mathcal{G}_{\ell-1}, \mathbb{P}), |u|=1} \mathbb{E} [(u \cdot \Delta X_\ell)_+ | \mathcal{G}_{\ell-1}] > 0$  *p.s.*

## Existence de stratégies optimales

En utilisant les idées du principe de la programmation dynamique (fonctions de Bellman, résolution backward, ...), on montre l'existence d'une stratégie optimale.

# Comment le risque évolue au cours du temps ?

Les (bonnes) propriétés de la  $\mathcal{G}$ -CVaR

▷ Le risque du portefeuille à la date  $\ell$  :

$$\mathcal{G}_\ell\text{-CVaR}_\alpha \left( L - \sum_{k=1}^M \theta_{k-1} \cdot \Delta X_k \right), \quad \ell = 0, \dots, M.$$

## Surmartingale & Convergence

Soit  $M = +\infty$  et  $L \in L^1(\mathcal{G}_\infty, \mathbb{P})$  où  $\mathcal{G}_\infty = \vee_\ell \mathcal{G}_\ell$ .

- ①  $(\mathcal{G}_\ell\text{-CVaR}_\alpha(L))_{\ell \geq 0}$  est une  $(\mathbb{G}, \mathbb{P})$ -surmartingale.
- ②  $\mathcal{G}_n\text{-CVaR}_\alpha(L) \xrightarrow{p.s.} L, \quad n \rightarrow +\infty.$

## Le risque dynamique est cohérent

L'estimation à la date 0 du risque dynamique :

$(\mathbb{E}[\mathcal{G}_\ell\text{-CVaR}_\alpha(L)])_{1 \leq \ell \leq M}$  décroît avec le temps ! Le risque aléatoire décroît jusque  $L$ .

# Evolution du risque du portefeuille dynamique

## Proposition

Si  $X$  est une  $(\mathbb{G}, \mathbb{P})$ -martingale. Alors

$$\mathcal{G}_k\text{-CVaR}_\alpha \left( L - \sum_{\ell=1}^M \theta_{\ell-1} \cdot \Delta X_\ell \right) = \sum_{\ell=1}^k \theta_{\ell-1} \cdot \Delta X_\ell + \mathcal{G}_k\text{-CVaR}_\alpha \left( L - \sum_{\ell=k+1}^M \theta_{\ell-1} \cdot \Delta X_\ell \right).$$

et,

$$\begin{aligned} & \mathbb{E} \left[ \mathcal{G}_k\text{-CVaR}_\alpha \left( L - \sum_{\ell=1}^M \theta_{\ell-1} \cdot \Delta X_\ell \right) \right] \\ &= \mathbb{E} \left[ \mathcal{G}_k\text{-CVaR}_\alpha \left( L - \sum_{\ell=k+1}^M \theta_{\ell-1} \cdot \Delta X_\ell \right) \right]. \end{aligned}$$

# Outlines

- 1 Introduction
- 2 Aspects théoriques de la couverture en CVaR
- 3 Aspects numériques de la couverture du risque**
- 4 Exemples numériques

## Méthode numériques : algorithme stochastique

## Couverture à un pas du risque forward

On veut résoudre le problème à un pas du risque forward :

$$\inf_{\theta_{\ell_0} \in L_{\mathbb{R}^d}^0(\mathcal{G}_{\ell_0}, \mathbb{P})} \mathbb{E} [\mathcal{G}_{\ell_0}\text{-CVaR}_\alpha (L - \theta_{\ell_0} \cdot (X_M - X_{\ell_0}))].$$

## Hypothèses

Le processus  $(X_\ell, Z_\ell)_{0 \leq \ell \leq M}$  à valeurs dans  $\mathbb{R}^d \times \mathbb{R}^q$  est  $(\mathbb{G}, \mathbb{P})$ -markovien.

On considère la modélisation suivante :

$$X_M - X_{\ell_0} = G(X_{\ell_0}, Z_{\ell_0}, U_{\ell_0+1}), \text{ and } L = F(X_{\ell_0}, Z_{\ell_0}, U_{\ell_0+1}), \quad U_{\ell_0+1} \perp \mathcal{G}_{\ell_0}.$$

## Propriété de Markov + Quantification vectorielle

$$V(\xi, \theta, x, z) = \mathbb{E} \left[ v(\xi, \theta, U) := \xi + \frac{1}{1-\alpha} \left( F(x, z, U) - \theta \cdot G(x, z, U) - \xi \right)_+ \right].$$

$$\inf_{\theta_{\ell_0} \in L_{\mathbb{R}^d}^0(\mathcal{G}_{\ell_0}, \mathbb{P})} \mathbb{E} [G_{\ell_0}\text{-CVaR}_\alpha (L - \theta_{\ell_0} \cdot (X_M - X_{\ell_0}))]$$

$$= \mathbb{E} \left[ \underbrace{\operatorname{ess\,inf}_{\theta_{\ell_0} \in L^0(\mathcal{G}_{\ell_0}, \mathbb{P}), \xi \in L^0(\mathcal{G}_{\ell_0})} \mathbb{E} \left[ \xi + \frac{1}{1-\alpha} (L - \theta_{\ell_0} \cdot (X_M - X_{\ell_0}) - \xi)_+ \mid \mathcal{G}_{\ell_0} \right]}_{= \left( \min_{(\xi, \theta) \in \mathbb{R} \times \mathbb{R}^d} V(\xi, \theta, x, z) \right)_{|x=X_{\ell_0}, z=Z_{\ell_0}}} \right],$$

$$\approx \sum_{j=1}^{N_{\ell_0}} \min_{(\xi, \theta) \in \mathbb{R} \times \mathbb{R}^d} V(\xi, \theta, x_{\ell_0}^j, z_{\ell_0}^j) \mathbb{P}((X_{\ell_0}, Z_{\ell_0}) \in C_j(x_{\ell_0}, z_{\ell_0}))$$

## Quantification vectorielle optimale

Le problème global est devenu local ! Pour chaque noeud de la grille de quantification, on résout un problème d'optimisation convexe.

# On résout le problème local par algorithme stochastique

$V$  est convexe, différentiable,

$$\nabla_{(\xi, \theta)} V(\xi, \theta) = \mathbb{E} [(H_1(\xi, \theta, U), H_{2:d+1}(\xi, \theta, U))].$$

Afin d'estimer les zéros de  $\nabla_{(\xi, \theta)} V$ , procédure R-M :

$$\begin{aligned}\xi_n &= \xi_{n-1} - \gamma_n H_1(\xi_{n-1}, \theta_{n-1}, U_n), \\ \theta_n &= \theta_{n-1} - \gamma_n H_{2:d+1}(\xi_{n-1}, \theta_{n-1}, U_n),\end{aligned}$$

▷ On estime la CVaR locale par une procédure compagnon

$$C_n = C_{n-1} - \gamma_n H_{d+2}(\xi_{n-1}, \theta_{n-1}, C_{n-1}, U_n)$$

$$H_1(\xi, \theta, u) = 1 - \frac{1}{1-\alpha} \mathbf{1}_{\{L-\theta X \geq \xi\}}, \quad H_{2:d+1}(\xi, \theta, u) = -\frac{X}{1-\alpha} \mathbf{1}_{\{L-\theta X \geq \xi\}}$$

et  $H_{d+2}(\xi, \theta, C, u) = C - v(\xi, \theta)$ .

**Convergence p.s.**

$$(\xi_n, \theta_n, C_n) \xrightarrow{p.s.} \left( \xi_\alpha^*(x_{\ell_0}^j, z_{\ell_0}^j), \theta_\alpha^*(x_{\ell_0}^j, z_{\ell_0}^j), \inf_{(\xi, \theta) \in \mathbb{R} \times \mathbb{R}^d} V(\xi, \theta, x_{\ell_0}^j, z_{\ell_0}^j) \right).$$

# Estimation de stratégie dynamique

## Crude hedging (C.H.)

$$\inf_{\theta \in \mathcal{A}} \text{CVaR}_\alpha \left( L - \sum_{\ell=1}^M \theta_{\ell-1} \cdot \Delta X_\ell \right),$$

Modélisation :

$X_\ell - X_{\ell-1} = G_\ell(X_{\ell-1}, Z_{\ell-1}, U_\ell)$ , and  $Z_\ell = T_\ell(Z_{\ell-1}, U_\ell)$ ,  $U_\ell \perp \mathcal{G}_{\ell-1}$ ,

- ▷ Quantification vectorielle à chaque date  $(X_\ell, Z_\ell)_{1 \leq \ell \leq M}$ .
- ▷ Pour chaque date et chaque point de la grille de quantification, la stratégie :  $\theta_\ell^j$ ,  $\ell = 0, \dots, M-1$ ,  $j = 1, \dots, N_\ell$ .
- ▷  $\text{VaR}_\alpha$  et  $\text{CVaR}_\alpha$  ne dépendent pas du noeud considéré puisque le risque est statique.

### Problème de la dimension

Quand la dimension de l'algorithme est faible ( $\leq 100$ ), il est très efficace : peu de dates et d'actifs et peu de points de quantification.

## Autres méthodes : 1/3

## Backward hedging (B.H.)

A la date  $M - 1$ . On résout

$$\begin{aligned} \inf_{\theta \in \mathcal{A}} \mathbb{E} \left[ \mathcal{G}_{M-1} \text{-CVaR}_\alpha \left( L - \sum_{\ell=1}^M \theta_{\ell-1} \cdot \Delta X_\ell \right) \right] \\ = \inf_{\theta_{M-1} \in L_{\mathbb{R}^d}^0(\mathcal{G}_{M-1})} \mathbb{E} \left[ \mathcal{G}_{M-1} \text{-CVaR}_\alpha (L - \theta_{M-1} \cdot \Delta X_M) \right], \end{aligned}$$

solution  $\theta_{M-1}^b$ , on recule d'un pas

$$\inf_{\theta_{M-2} \in L_{\mathbb{R}^d}^0(\mathcal{G}_{M-2})} \mathbb{E} \left[ \mathcal{G}_{M-2} \text{-CVaR}_\alpha \left( L - \theta_{M-1}^b \cdot \Delta X_M - \theta_{M-2} \Delta X_{M-1} \right) \right],$$

solution  $\theta_{M-2}^b$ , etc...

### propagation d'erreur

On contrôle le risque dynamiquement mais il y a une propagation de l'erreur.

## Autres méthodes : 2/3

## Martingale Decomposition method (M.D.H.)

On écrit  $L$  comme une somme d'accroissements de martingale

$$L = \mathbb{E}[L] + \sum_{\ell=1}^M \tilde{\Delta}L_{\ell}, \quad \tilde{\Delta}L_{\ell} = \mathbb{E}[L | \mathcal{G}_{\ell}] - \mathbb{E}[L | \mathcal{G}_{\ell-1}]$$

$$\inf_{\theta \in \mathcal{A}} \text{CVaR}_{\alpha} \left( L - \sum_{\ell=1}^M \theta_{\ell-1} \Delta X_{\ell} \right) \leq \mathbb{E}[L] + \sum_{\ell=1}^M \inf_{\theta_{\ell-1} \in L_{\mathbb{R}^d}^0(\mathcal{G}_{\ell-1})} \text{CVaR}_{\alpha} \left( \tilde{\Delta}L_{\ell} - \theta_{\ell-1} \Delta X_{\ell} \right).$$

et on résout chaque problème en utilisant la minoration suivante :

$$\inf_{\theta_{\ell-1} \in L_{\mathbb{R}^d}^0(\mathcal{G}_{\ell-1})} \mathbb{E} \left[ \mathcal{G}_{\ell-1} \text{-CVaR}_{\alpha} \left( \tilde{\Delta}L_{\ell} - \theta_{\ell-1} \Delta X_{\ell} \right) \right] \leq \inf_{\theta_{\ell-1} \in L_{\mathbb{R}^d}^0(\mathcal{G}_{\ell-1})} \text{CVaR}_{\alpha} \left( \tilde{\Delta}L_{\ell} - \theta_{\ell-1} \Delta X_{\ell} \right).$$

## Autres méthodes : 3/3

## Classical decomposition hedging (C.D.H.)

On écrit  $L$  comme une somme d'incrément classiques

$$L = L_0 + \sum_{\ell=1}^M \Delta L_{\ell}, \quad \Delta L_{\ell} = L_{\ell} - L_{\ell-1}$$

$$\inf_{\theta \in \mathcal{A}} \text{CVaR}_{\alpha} \left( L - \sum_{\ell=1}^M \theta_{\ell-1} \Delta X_{\ell} \right) \leq \mathbb{E}[L] +$$

$$\sum_{\ell=1}^M \inf_{\theta_{\ell-1} \in L_{\mathbb{R}^d}^0(\mathcal{G}_{\ell-1})} \text{CVaR}_{\alpha} (\Delta L_{\ell} - \theta_{\ell-1} \Delta X_{\ell}).$$

et on résout chaque problème local :

$$\inf_{\theta_{\ell-1} \in L_{\mathbb{R}^d}^0(\mathcal{G}_{\ell-1})} \mathbb{E}[\mathcal{G}_{\ell-1} - \text{CVaR}_{\alpha} (\Delta L_{\ell} - \theta_{\ell-1} \Delta X_{\ell})] \leq$$

$$\inf_{\theta_{\ell-1} \in L_{\mathbb{R}^d}^0(\mathcal{G}_{\ell-1})} \text{CVaR}_{\alpha} (\Delta L_{\ell} - \theta_{\ell-1} \Delta X_{\ell}).$$

# Importance Sampling et Variable de contrôle linéaire

- ▷  $\alpha \sim 1$ , convergence lente et chaotique : problèmes des évènements rares.
- ▷ 2 techniques de réduction de variance combinées adaptativement avec  $(\xi_n, \theta_n, C_n)_{n \geq 1}$  :
  - ① importance sampling récursif : on translate la distribution des pertes dans la zone intéressante, *i.e.* la queue de distribution.
  - ② Variable de contrôle linéaire :  $X$  est une martingale alors  $\mathbb{E}[\Delta X_\ell] = 0$ .  $\Delta X_\ell$  peut être utilisée comme variable de contrôle.

# Outlines

- 1 Introduction
- 2 Aspects théoriques de la couverture en CVaR
- 3 Aspects numériques de la couverture du risque
- 4 Exemples numériques**

## Exemples numériques

Couverture à un pas du risque statique d'une option spark spread

$$L = (S_M^e - h_R S_M^g - C)_+,$$

où  $M = 1$  (an),  $h_R = 4\text{BTU/kWh}$ ,  $C = 3\$/\text{MWh}$ ,  $\sigma_g = 0.4$ ,  
 $\sigma_e = 0.8$ ,  $S^e$ ,  $S^g$  are two G.B.M. with  $S_0^e = 40\$/\text{MWh}$ ,  
 $S_0^g = 3\$/\text{MMBTU}$ .

▷ une simulation M.C. donne  $\mathbb{E}[L] = 11.86$  avec une variance de  
 3692 en utilisant 3 000 000 simulations. ( $\text{VR}_{\text{CVaR}} (\text{LCV}) \approx 2$ )

	Sans couverture		Avec couverture un pas			
$\alpha$	VaR	CVaR	VaR	$\theta_\alpha^*$	CVaR	$\text{VR}_{\text{CVaR}} (\text{IS})$
95%	65.1	114.4	63.1	7.8	98.3	16.7
99%	142.2	208.3	120.2	13.6	163.2	19.0
99.5%	183.1	257.8	146.8	16.4	190.2	20.2

# Histogram of the loss with and without hedging

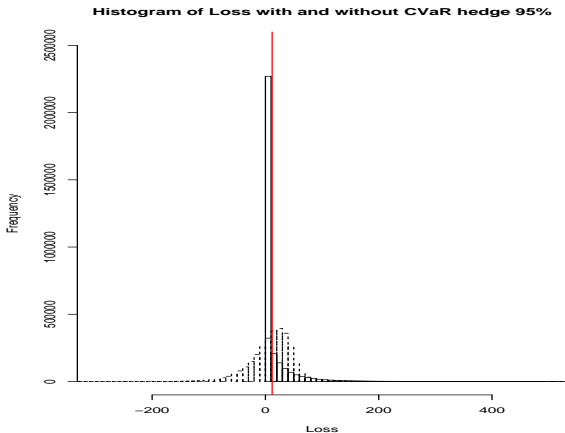


Figure: Histogramme de la perte avec (ligne pointillée) et sans (ligne normale) couverture au niveau  $\alpha = 95\%$ .

# Comparaison entre $\alpha = 95\%$ et $\alpha = 99\%$ .

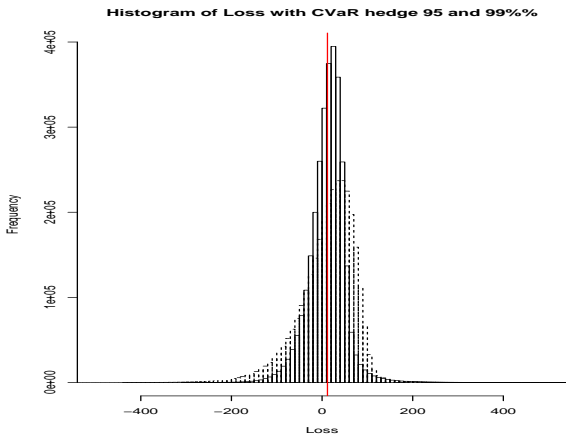


Figure: Histogramme de la perte avec  $\alpha = 95\%$  (ligne normale) et  $\alpha = 99\%$  (ligne pointillée).

# Couverture de la consommation

▷ Fournisseur de gaz :

- achète sur le marché spot une quantité  $C_M$  de gaz au prix  $S_M^g$
- la vend au prix  $K = 11\text{€}/\text{MWh}$  à ses clients.

▷  $C_M = a - b \times T_M$  est la consommation à la date  $M = 1$  an avec  $a = 100$  Mwh et  $b = 3$  MWh/ $C^\circ$ .

▷ La température est modélisée en utilisant un processus d'O-U

$$dT_t = -\lambda(T_t - m)dt + \sigma_T dW_t,$$

Les deux M.B. sont corrélés avec  $\rho = -0.8$ . La perte s'écrit

$$L = (S_M^g - K)C_M.$$

## Résultats

	Sans couverture		Couverture un pas		
$\alpha$	VaR	CVaR	VaR	$\theta_{\alpha}^*$	CVaR
95%	784.6	1226.3	259.6	81.6	366.5
99%	1452.4	2012.3	437.1	89.9	537.3
99.5%	1769.9	2382.8	505.7	92.3	608.6

Table: Couverture un pas du risque statique de la consommation de gaz

# Histogrammes des pertes

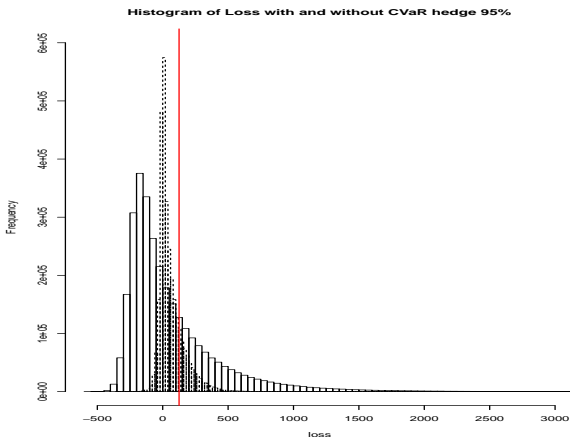


Figure: Histogrammes des pertes avec (ligne pointillée) et sans (ligne normale) couverture en CVaR avec  $\alpha = 95\%$ .

# Couverture dynamique

3 différents nombres de dates de rebalancement :  $M = 4$  (chaque trimestre),  $M = 12$  (chaque mois),  $M = 52$  (chaque semaine) et le seuil de confiance  $\alpha = 95\%$  est fixe. 10 points de quantification.

	C.H.		B.H.		M.D.H.		C.D.H.	
$M$	VaR	CVaR	VaR	CVaR	VaR	CVaR	VaR	CVaR
4	178.3	240.9	175.9	252.5	177.8	252.9	178.9	259.2
12	163.2	214.1	160.7	233.8	158.7	221.7	161.9	232.9
52	272.6	395.1	158	233.2	148.7	210.1	153.1	223.7

**Table:** Couverture en CVaR de la consommation au seuil 95% avec 4 différentes méthodes.

# Comparaison couverture un pas et couverture statique

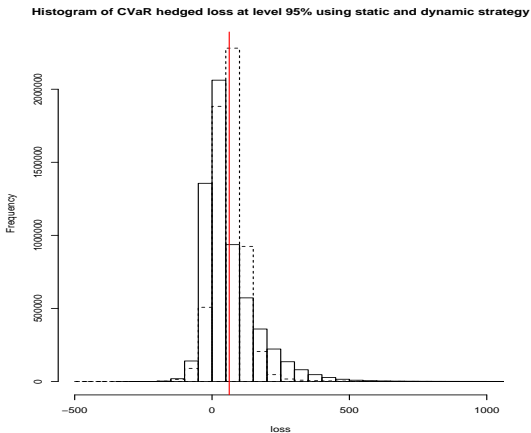


Figure: Histogrammes de la perte couverte en CVaR au seuil  $\alpha = 95\%$  en utilisant une stratégie un pas (ligne normale) et une stratégie dynamique (ligne pointillée) avec la méthode M.D.H. 52 dates de rebalancement.